

東北大土木 大学院 謙戸 靖史

1. はじめに

地盤の応力と変形の問題をとりあつかう場合、材料を弾性体とすれば変形定数として、ヤング率E、セン断に対する剛性率G、ポアソン比ν、体積変形に対する剛性率(体積圧縮率の逆数)Kなどのうち2つの定数を必要とする。砂のような各粒子がバラバラに集っているものではスレ変形のさいにも体積が大きくなったり小さくなったりするのであるから、この粒状体に持つダイレイタンシー効果が変形係数に与える影響を調べる必要がある。筆者はかねがね砂地盤の変形係数は上記の変形係数はダイレイタンシー効果βにより修正されなければならないと考えてきた。³⁾そして、まず砂の弾性的な変形特性を静的排水試験(3軸、 $\sigma_2=\sigma_3$)で調べ、その応力依存性、応力経路依存性、およびβを吟味した。また砂のような変形は応力・ヒスマ増分関係式で示すことが有効であることを知った。¹⁾次に処女載荷時にみられる圧縮変形を静的排水試験(3軸、 $\sigma_2=\sigma_3$)で調べ、変形を平均主応力pと主応力差qによるものにわけて数式表示した。また応力比がある一定の値になるとひずみ剛性比や応力経路にかかる限界間隔比にならざりきることを知った。²⁾ここではさらに平均主応力一定試験による実験結果を加え、砂の排水時における三軸変形を処女載荷時、過圧密領域(繰返し載荷時)について応力・ヒスマ増分関係式で示すことを試みた。その場合砂の剛性率Gがどのように表わされるかについても調べた。初期の剛性率が降伏点のヒスマや応力比に与えるえきょうについても述べた。

2. 平均主応力pと主応力差qによる変形

また、砂地盤の不安定性を示す指標 $I = K_0 - K_c$ を導入した。

三軸砂供試体に応力 $\sigma_1, \sigma_3 (= \sigma_2)$ が作用する。このうち平均主応力 $p = \frac{1}{3}(\sigma_1 + 2\sigma_3)$ が静水圧的に砂供試体を圧縮し、 $q = (\sigma_1 - p) - (\sigma_3 - p)$ が供試体にスレ変形を与えるとするとわかりやすい。 β による変形は各粒子間の重心の位置がたがいに近づく、より砂体が安定な状態になろうとするもので比較的供試体内部での粒子の回転やスペリは少ないと考えられる。一方、qによる変形は砂粒子の回転やスペリが活発になり砂体が不安定になる変形であると解釈される。

2.1 平均主応力による変形 ϵ : β が ϵ に与える影響は(1)変形を増加させることと(2)拘束圧が高くなる程砂粒子の移動性が小さくなると共に粒子間の接触点を増加させることの相反する2点である。ここで α 増分 $d\epsilon$ は dp に比例し、 β に反比例するとすると次のようになります。

$$d\epsilon = \frac{\alpha}{p_n} dp, \quad \alpha: \text{定数で砂粒子の性質とその集り方によって定まる。}$$

ここで、 $n=1$ の場合は Terzaghi, 最上の式が念頭に浮ぶ。 $n=\frac{1}{3}$ とすると Hertzeの接触理論から導かれる式に相当する。 n は間隔比の大きさのほど1に近づくことは知られています。筆者は処女載荷時において $n=1/2$ で β が整理できることを示した。このことは Chaplin も述べている。また繰返し載荷においては $n=1/3$ がよく合うことが示されている。したがって処女載荷時における $n=1/2$ 過圧密領域では $n=1/3$ とする。

2.2 主応力差 σ に対する変形 γ : まづ軸方向ヒステリシスによるせん断変形 $\delta = \epsilon_1 - \epsilon_3$ を念頭におく。砂供試体を不安定変形に導く直接の要因は δ である。自然の砂は複雑な粒度構成や形状をもち、またその集まり方も不均質である。したがって応力が小さい場合でもその一部は降伏していくものと考えよう。降伏条件は δ よりも δ_p に閾値しているから（モールクーロンを考えていこう）、この降伏による剛さの低下を $G = G_0 (1 - k/k_m)^\ell$ と書く。 G は正の時に付する剛性率、 G_0 は $k=k=0$ に対する G の値 ℓ と入は定数である。砂の場合 $k=k_m$ (k の最大値) に達すると G がゼロとなる。したがって $\delta = \frac{P}{k_m}$ となる。上式を書きかえると $G = G_0 (1 - k/k_m)^\ell$ となる。変形の途中のある時点におけるヒステリシスの増分は $d\delta$ に比例し、その時刻における γ に反比例するとする。この場合

$$d\delta = \frac{d\gamma}{G_0 (1 - k/k_m)^\ell}, \quad G_0 \text{ は砂粒子の性徴、粒度構成、応力により定まる} \quad \dots (2)$$

今、 $\ell=2$ とき式(2)式を γ に関する積分し、積分定数をゼロとおくと

$$\gamma = \frac{\delta}{G_0 (1 - k/k_m)^2} = \frac{\delta}{\frac{G_0}{P} (1 - k/k_m)} \quad \dots (3)$$

(3)式を書きかえると

$$\delta = \frac{\gamma}{\frac{G_0}{P} + \frac{\delta^2}{k_m P}} \quad \text{あるいは} \quad \frac{\delta}{P} = \frac{\gamma}{\frac{P}{G_0} + \frac{\delta^2}{k_m}} \quad \dots (4)$$

とおり、(4)式は Kondner が平均主応力一定試験において砂の変形を処理した双曲線表示式と同一のものとなる。³⁾ したがって Kondner の双曲線表示式は変形に対する剛さが γ に対して減少するような変形性状を示すものであることがわかる。

ここで(3)式で表わされる曲線について最小曲率半径を有する点を計算する。曲率半径を ρ とする

$$\rho = \frac{d^2\gamma / dk^2}{\left\{ 1 + (\alpha\gamma/dk)^2 \right\}^{3/2}} \quad \text{より} \quad \frac{d}{dk} \left(\frac{1}{\rho} \right) = 0 \quad \text{に対応する } k \text{ の値を求めると}$$

$$k_y = k_m \left(1 - \left(\frac{P}{G_0} \right)^{\frac{1}{2}} \right) \quad \dots (5)$$

(5)式と(3)式に代入すると、 k_y に対する γ を γ_y と書き、

$$\gamma_y = \left[\left(\frac{P}{G_0} \right)^{\frac{1}{2}} \left(1 - \left(\frac{P}{G_0} \right)^{\frac{1}{2}} \right) \right]_{k=k_y} = \left(\frac{P}{G_0} \right)^{\frac{1}{2}} \cdot k_m \quad \dots (6)$$

これは初期剛性率 G_0 は土の受けける拘束圧と関連して論ぜられる。砂においては P は $\rho^{\frac{1}{2}}$ に比例することがわかっている。したがって同一のせん断抵抗角を有する砂であれば地中の深い所の場合の方が大きいヒステリシスで降伏することが推察される。このことは地表面に近い所の解析は剛塑性体、地中の深い所の解析は弾塑性体として砂をとりあつかうことの妥当性を示唆するものであろう。この事情は平均主応力一定試験から得られた $\gamma \sim \delta$ 曲線を $\delta/P \sim \epsilon$ に基準化して書き換えてみると、 δ を縦軸、 ϵ を横軸にした場合、 δ が大きいものは曲線が下方に位置することからも判斷される。また最少曲率半径をもつ点の応力比 k_y は地中に深く位置する砂ほど小さい値をとることが式(5)からわかる。このように初期剛性率が応力依存性を受けると、たとえ同一の材料でも強度時ににおけるヒステリシス、応力比の値が拘束圧により変化することが示される。

3. 実験

双曲線表示式がどのようなく応力経路に対しても妥当なものかを知るために、図-1に示す応力経路をもつ排水三軸試験を行なった。また、せん断時ににおける体積変化特性のうち特に圧縮側の部分を知るために平均主应力一定試験を行なった。

供試体外径5cm、高さ6cmである。砂は名取川産のもので、均等係数 $C_u = 2.0$ 、 $D_{60} = 0.50$ である。間隙比はできるだけ高くして $e_0 = 0.95 \pm 0.02$ に調整した。供試体の両端部にはうすいゴム膜を介してシリコニグリースをぬったピストン底面とデスク上面に接触しており、端面摩擦を軽減させている。結果を図-1、図-2に示す。

図-1から双曲線表示式はどのようなく直線的な応力経路についても適用することができる。たゞ初期の部分では下方に頭がたれ直線部より離れる。このことはせん断時にせん断密度の増大現象と関連があるようと思われる、当然の現象であろう。

図-2にせん断時ににおける体積圧縮性を示す。砂がゆるく供試体作成時の条件を一段とせにくいか、ひずみ $\epsilon = 2\% \sim 8\%$ 周囲水圧 P にかかるらず帶状の領域に集まっている。

$$\beta = \beta \left(\frac{\epsilon}{P} \right) \quad \dots (7)$$

と表わす。ここで β は限界間隙比状態における応力比であり同一の砂についてはほぼ一定値となる。

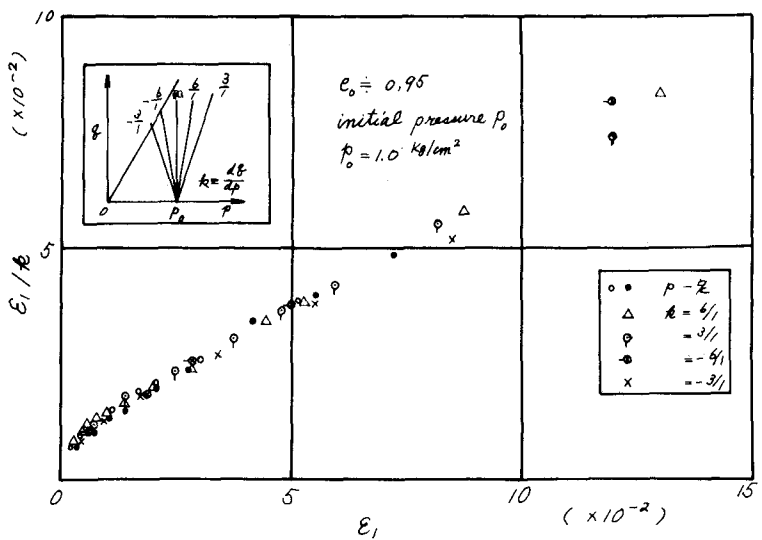


図-1 各応力経路における双曲線表示法

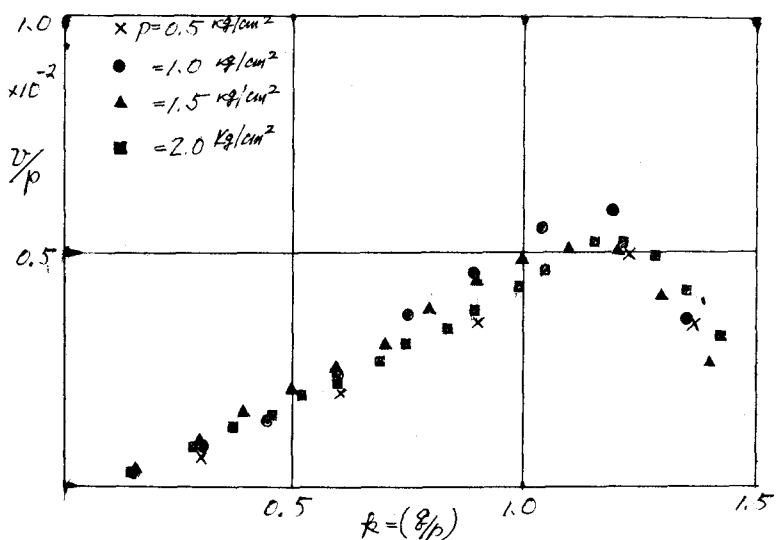


図-2 平均主应力一定試験における体積ヒステ

自然地盤は K_0 -状態にあり、この場合の応力比を β とする。いま、自然地盤があるときに変形を受ける場合の最大圧縮量 Δu_{max} は $\Delta u_{max} = \beta (k_c - k_0)$ となる。 $I = k_c - k_0$ とおくと次元的に書くと $I = K_c - K_0$ ($K = \sigma_3/\sigma_1$) となる。この I が大きさの値をもつほど自然地盤は不安定であるといえる。したがって I を地盤の不安定指数と呼ぶことができよう。また $K_c = 1 - \sin\phi'$ とおきるからには $I = \frac{2}{3} - \sin\phi'$ ($K_c \neq \frac{1}{3}$) と書ける。この I は液状化などの砂層の不安定現象に対して応用できよう。⁴⁾

4. 応力・ヒステミ増分関係式

今までに実験的に得られたデータをもとに下表に応力・ヒステミ増分関係式と剛性率をまとめた。

区分	区分	増分関係式	剛性率 $G^* = \frac{d\sigma/2}{dx}$
丸	$k_c < k_c$	$d\epsilon_1 = \frac{\alpha}{p^2} dp + \frac{b_0 dq}{p(1-\frac{k}{k_m})^2}$ $dv = \frac{n a_0}{p^2} dp + \frac{\beta dq}{p}$ $(n \neq 3)$	$G^* = \frac{p^{\frac{1}{2}}}{b_0(3+\beta)}$
丸	$k_c < k < k_m$	$d\epsilon_1 = \frac{b_0 dq}{p(1-\frac{k}{k_m})^2}$ $dv = \frac{\beta b_0 dq}{p(1-\frac{k}{k_m})^2}$ $(变形は \frac{dp}{dp} = k \text{ で定まるものとした})$	$G^* = \frac{p(1-\frac{k}{k_m})^2}{b_0(3+\beta)}$
端 圧 密	$k < k_m$	$d\epsilon_1 = \frac{\alpha}{p^3} dp + \frac{b_0 dq}{p^2}$ $dv = \frac{\alpha}{p^3} + \frac{\beta b_0 dq}{p}$	$G^* = \frac{p^{\frac{1}{2}}}{b_0(3+\beta)}$

5. ふわりにあたって、筆者に研究の機会を与え、いつも御援助願、てある本学教授河上彦義先生に心から感謝の意を表す。

6. 参考文献

- 1) “砂の弾性的な変形特性” 諸戸 工業工学会論文報告集 (1972) 9月号
- 2) “砂の圧縮過程における変形” 諸戸 第7回 土質工学研究発表会 (1972), 広島
- 3) “砂の弾性的変形” 諸戸 材料研究連合講演会 (1972), 8月, 大阪
- 4) “A Method to Evaluate Instability of Sand Deposits” N. Moroto, M. Sato, I.C.S.H.F.E. モニタリングにレポート提出中